

V-7 三軸圧縮荷重を受けるコンクリート内の微小クラックに関する研究

京都大学

正員

牛川若二

1 はじめに

圧縮荷重を受けるコンクリートの挙動を明らかにする上と、三軸圧縮荷重下でのコンクリート中の微小クラックの挙動を明らかにすることとは基本的には問題である。すなはち一軸圧縮、あるいは拘束圧の下でない範囲での三軸圧縮応力条件下では、コンクリート中に接着にクラックが発達し、そのクラックが供試体に荷重力を与ねせるに必要なパターン（供試体の形状、載荷の条件にも影響される）を形成し、その結果として供試体の崩壊が生じる。また拘束圧の大きい圧縮応力条件下では一般には接着はクラックが発達せず、モルタル部分の変形にせばらじとする供試体中の接着の非弹性化によって、やがて供試体は荷重力を失う。

コンクリートの崩壊をコンクリート中の微小クラックといふ観点から考えるとき、何観点を以てどのように分類する。

1) コンクリート中の個々の初期欠陥からの微小クラックの発生と発達。

2) 微小クラックの発生、発達にともなう供試体の崩壊進行の評価。

3) 角部等は崩壊の進行と、クラックパターンの形成過程。

2), 3) についこほろくの部分で解説している。またこれらは既に報告¹⁾あるので、ここでは1)のコンクリート中の初期欠陥からの微小クラックの発生と発達について行なった実験の概略を述べ、コンクリートの崩壊を説明するための資料とする。²⁾

2 実験

実験はモルタル中にスリット、円柱あるいは角柱を複数に配置した三次元供試体を一軸圧縮、あるいは適当な拘束圧下で圧縮載荷し、発生、発達する微小クラックを観察した。

2-1 供試体の作製

マトリックス部分であるモルタルはセメント：砂（標準砂）：水 = 1.0 : 2.0 : 0.6 (重量比) に配合したものである。骨材としては砂（粒度約 1.6 mm）およびコンクリートカッターで角柱（角柱は柱頭でささず）および養生板（板厚は約 15 × 2 mm）に切り出したものを角をまろくして用いた。なお砂岩の表面は切削したままの状態で用いられる。またスリットは塗装した後にビニールの薄片（15 × 1.5 mm）モルタルマトリックスが直前に硬化した後、引き抜いて作製した。供試体は打設後約 24 時間で脱型し、20°C 恒温水中で養生し、試験の数日前にコンクリートカッターで約 11 mm の厚さに切削して用いた。抹きは約 4 回である。

2-2 クラックの検出

筆者らは先に電子顕微鏡と用いた観察にともなうクラックの検出結果について若干の報告を行なっておりが、この方法は複雑が非常にせまく、広範囲の実験には適さない。そのためここでは供試体表面に黒色漆料を塗布し、表面をうすくターンテーブル上で磨き取る方法とアセトンを断続的に溶査させ、急速に乾燥させることによる検出法を採用した。セメントペーストなどの場合とくらべてモルタル供試体には結構

は欠陥が多數含まれてゐるため、アセトン浸透法によるクラックの発生は鮮明ではない。そのためクラックの発生にはアセトンの浸透性と構造性を利用する方法を、提進したクラックの正確な検出には塗料を塗布する方法を利用した。なおモルタル供試体の検出には塗料による方法がより正確な結果を得られ、適していることが判明していふ。

2-3 載荷方法

二軸圧縮試験は拘束圧をレバーで与え、軸圧とリレー式万能試験機で与えた。なお圧縮試験時の端面拘束の影響を小さくするため、 0.05 mm 厚さのテフロンシートにシリコングリースを塗布したものと压盤と供試体の間にそう入した。

3 実験結果と考察

3-1 単一スリットからのクラックの発生、発達

単一スリットからのクラックの発生応力を図-1に示す。供試 200
時間の差、あるいはアセトン浸透法のモルタル材料に対する十分さなどによりばらつきは大きいが、その結果は前の報告や小林の結果とかなりの一致を示していふ。若干の拘束圧か作 100
用すると(0.1 kg/cm^2)クラックの発生応力は非常に大きくなり、わずかの拘束圧の存在がクラックの進展に大きな影響を与えることを示していふ。しかし発生、発達するクラックの性格にはこの程度の拘束圧では有意な差は認められなかった。

3-2 単一の薄板状骨材からのクラックの発達

モルタル中に骨材が含まれてゐる場合には供試体の強度は必ず骨材とモルタルとの間のボンドの分離からはじまる。そしてこのボンドクラックが応力集中帯として作用し、モルタル部 分へのクラックの発生を促進する。モルタルクラックの発生応力を図-2示す。この場合には拘束圧の増加により著しくモルタルクラックの発生応力が大きくなる。なお実験は工次元応力状態であり、拘束圧の存在は供試体の面外への漏洩を防ぐため拘束圧 10 kg/cm^2 の場合のものについには十分な結果は得られていない。発生するクラックについにはこの程度の拘束圧によつては有意な差は認められなかつた。一軸圧縮の場合のスリットおよび薄板状骨材からのクラックの発達を図-1, 2に示す。

3-3 単一あるいは複数の円柱状骨材からのクラックの発達

円柱境界上、荷重軸に平行に近い部分で断続的ボンドクラックが発生し、荷重の増加とともに成長、進展する。そしてこの境界上に発達したボンドクラックが応力集中帯となり、モルタル中へのクラックの発達を生じる。このモルタルクラックの発生する位置は図-2で示されたクラック発生の最小の応力を与える角度(約 40°)よりもかなり荷重軸との

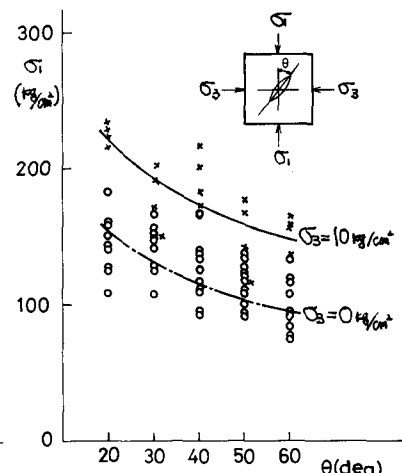


図-1. 単一のスリットからのクラックの発生

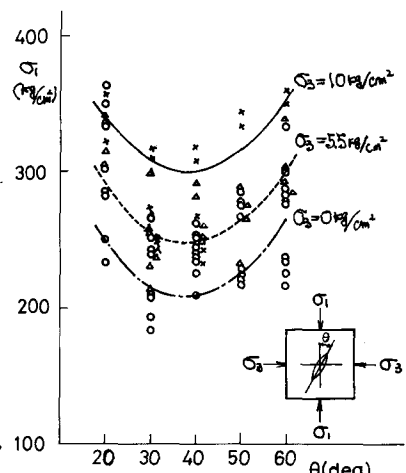


図-2. 単一の薄板状骨材からのモルタルクラックの発生

角度が大きい位置で発生している。このことはボンドクラックが円弧状であるばかりでなく、ボンドの深度がモルタルの表面にくらべてかなり低いためであると解釈される。また骨材の前面で大きなクラックの発生も時にみられたが、これは角をもつ骨材の場合と同じように骨材がくさびとしてこの役割をもつたためにである。また骨材角の相互作用は骨材が特に遮蔽している場合を除けば、骨材角の距離よりも配列の形態により支配されることが認められた。

3-4. 多数のスリットを含む供試体

多数のスリットを注意に配列した供試体についての実験結果を写真5,6に示す。(この場合のスリット寸法は $0.0 \times 0.8\text{mm}$)。孤立してスリットでは单一のスリットの場合と同様にクラックの発達を示すが、隣接するスリットから発生するクラックが重なり合うようは位置に配列されたスリットではクラックの発生が早く、また最終的にはクラックパターンの形成にも大きな意味を持つことが明らかである。先に单一スリットからのクラックの発生能力を図-1に示したがこの写真から河床圧の位置によるクラック発達の遅れが顕著に示されるであろう。

3-5. 多数の角柱状骨材を含む供試体

同一の圧縮荷重を与えたときの河床圧によるクラックの発達を写真7に示す。この場合骨材は大きさ、配置ともに注意である。この写真からモルタルクラックの発生の原因としてこのボンドクラックの役割が明らかである。また河床圧によるモルタルクラックの発達程度も顕著である。

4 コンクリートの崩壊進行についての検討

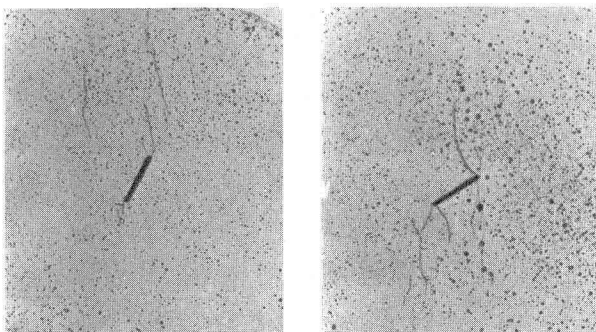


写真-1. 単一のスリットからのクラックの発達

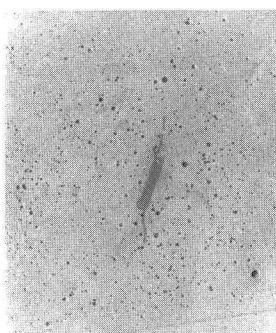


写真-2. 単一の骨材から発生したクラックの発達

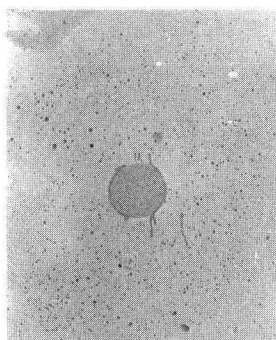


写真-3. 配列されたスリットからのクラック

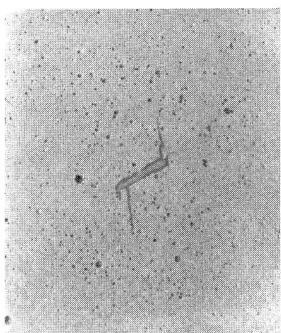


写真-4. 配列されたスリットからのクラック

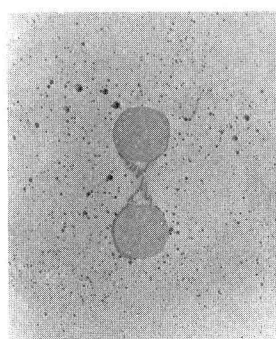
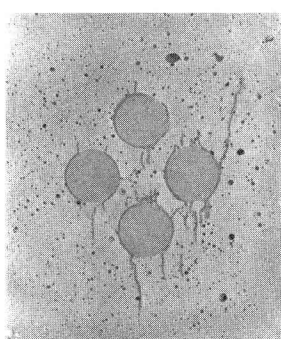


写真-5. 角柱状骨材からのクラックの発達

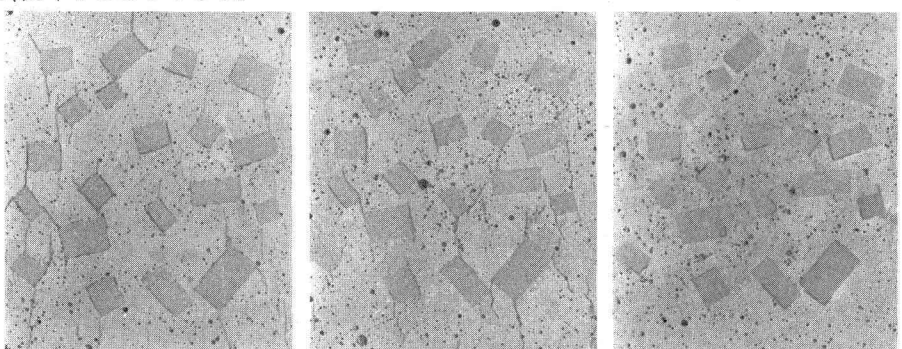


以上で数種のコンクリート中の人工の欠陥からのクラックの発生、発達をみて、それにあわせて荷重圧の影響を検討した。たとえば Griffith の理論では供試体中のもつとも危陥な欠陥 (Griffith crack) からクラックが進展する状態を供試体の破壊と考えているが、これが単にクラックの発達と見えるものであって供試体の破壊を与えるものではないことは多くの研究者により指摘されており、また本研究の結果からも明らかである。実際のコンクリートでは個々の欠陥から発達したクラックがある量の発達後安定化し、たゞに危陥なもののが発達、そして安定化という過程をくり返して供試体の崩壊に必要なクラックのパターンを形成する。そしてかけ上げすべりであり、粗面であるような形で供試体は崩壊に至る。この状態についにはクラックの入ったとして要素と要素構造 平直-6. 多数のスリットを含む供試体 $\sigma_1 = 178 \text{ kg/cm}^2$ としこねう有限要素法によるシミュレーションにより、あよその説明を得ることができます。

荷重圧の変にによる供試体中のクラックの性状についには本実験とは実験の機器上十分な結果が得られていなかたの点についには文獻を参照されたい。¹⁾ また微小クラックの発生、発達にともなう供試体の破壊進行についには内沢謙一郎²⁾あるいは破壊程度といふ量を導入することにより、供試体の破壊の進行を評価することができること。

5. 謝辞

本研究をはじめとする一連の
研究に吉田研究
費助金を賜
いたことに謝意
を表す。同



時に経営御宿等 幸運-7. 多数の角材下構成を含む供試体 $\sigma_1 = 242 \text{ kg/cm}^2$ $\sigma_3 = (a): 0 \text{ kg/cm}^2$ (b): 55 kg/cm^2 (c): 10 kg/cm^2 といただいた京都大学丹羽義次教授、小林昭一助教授に謝意を表す次第である。

参考文献： 1) 丹羽, 小林, 小柳, 中川；コンクリートボルト, V. 12, 1969, 2) 未発表論文, 3) 丹羽, 小林, 小柳, 中川; 第 229, 1967
4) 小林; 材料, 20 209, 1971. 5) 丹羽, 小柳, 中川; 土木学会論文報告集 15 1971